

Вестник МОСКОВСКОГО УНИВЕРСИТЕТА

№ 3 — 1965

УДК 539.124.175

Т. А. СЕМЕНОВА

ИЗЛУЧЕНИЕ ВАВИЛОВА—ЧЕРЕНКОВА В СРЕДЕ С ДВУМЯ ЦИЛИНДРИЧЕСКИМИ ГРАНИЦАМИ РАЗДЕЛА

Получены дисперсионное уравнение и выражение для потерь энергии электроном, летящим по каналу в цилиндрическом диэлектрическом стержне. Найдены собственные частоты излучателей, имеющих большую диэлектрическую проницаемость и заданные геометрические размеры, и распределение мощности излучения по спектру. Полученные таблицы собственных частот позволяют определить степень близости системы к резонансной. Излучатели с нерезонансными свойствами, дающие почти непрерывный спектр, могут быть использованы для измерения больших ϵ на СВЧ.

Последние годы (1950—1963 гг.) в связи с попытками применить эффект Вавилова — Черенкова для создания генераторов миллиметровых и субмиллиметровых волн появился ряд работ, в которых исследуется излучение точечного заряда в ограниченных средах или излучение пространственного ограниченного тока в бесконечных средах. Необходимость постановки таких задач обусловлена тем, что размеры черенковских излучателей при переходе от оптического диапазона к диапазону СВЧ становятся сравнимыми с длиной волны излучения. Следовательно, наличие границ раздела между средами с различными ϵ и форма этих границ начинают играть принципиальную роль. Подробно рассматривать все имеющиеся работы не представляется возможным, отметим только некоторые из них.

Первая задача такого рода была решена в 1947 г. Гинзбургом [1], рассматривавшим движение заряда по каналу в безграничной среде. Спектр излучения заряда остается непрерывным, но распределение мощности в спектре меняется. При $\lambda \ll r$, где r — радиус канала, наличие канала не влияет на мощность излучения в бесконечной среде. При $\lambda \approx r$ мощность заметно убывает и при $\lambda \ll r$ стремится к нулю.

Излучение заряда, летящего по каналу в диэлектрике, частично заполняющем волновод, рассчитано Абелем [2] и Ломизе [3]. Полученное в [3] дисперсионное уравнение позволяет непосредственно рассчитывать геометрические размеры как широкодиапазонных, так и узкополосных излучателей.

В [4] подробно рассмотрено излучение одиночного электрона в системе, состоящей из двух сред, разделенных цилиндрической поверхностью. Задача решена для трех случаев:

1. Условия излучения выполнены только во внешней, бесконечной среде; это соответствует случаю, рассмотренному в [1].

2. Условия излучения выполнены в обеих средах; при этом, подбирая параметры сред, можно добиться интенсивного излучения в узком спектральном интервале.

3. Излучение возможно только в канале, а во внешней среде условия излучения не выполнены. В этом случае спектр излучения дискретен.

В настоящей работе рассмотрена несколько более сложная задача: о трех средах с двумя цилиндрическими границами раздела. Указанная задача возникает в связи с тем, что в эксперименте обычно используют диэлектрик с каналом, помещенный во внешнюю среду.

Аналогичные расчеты для сгруппированного пучка электронов, движущегося внутри диэлектрической трубки, проведены в работе [5]. В этой же работе приведены кривые энергетических потерь заряда в системе с малой диэлектрической проницаемостью ($\epsilon \approx 6$).

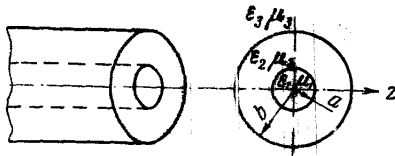


Рис. 1.

Излучение Черенкова в диэлектрическом цилиндре

Пусть волновод заполнен средой ϵ_2, μ_2 , канал — средой ϵ_1, μ_1 , а внешнее пространство имеет характеристики ϵ_3, μ_3 ,

где ϵ_i — диэлектрическая проницаемость i -той среды, а μ_i — ее магнитная проницаемость (рис. 1). Среда считаем изотропными и прозрачными.

Введем цилиндрическую систему координат r, ϕ, z и рассмотрим излучение точечного заряда q , движущегося по оси канала со скоростью v .

Решение задачи

Поскольку задача аксиально симметрична, векторный (\vec{A}) и скалярный (ϕ) потенциалы связаны соотношением

$$\vec{A} = \frac{\vec{v}}{c} \epsilon \mu \phi. \quad (1)$$

Поэтому достаточно решить только одно уравнение

$$\epsilon \left(\Delta \phi - \frac{\epsilon \mu}{c^2} \frac{\partial^2 \phi}{\partial t^2} \right) = -4\pi q \delta(z - vt)$$

для скалярного потенциала (см. [4]).

Представим ϕ [4] в виде

$$\phi(r, z - vt) = \int_{-\infty}^{\infty} e^{i \frac{\omega}{v} (z - vt)} \Phi(\omega, r) d\omega. \quad (2)$$

Тогда для искомой функции $\Phi(\omega, r)$ получаем уравнение Бесселя

$$\left[\frac{\partial^2}{\partial r^2} + \frac{1}{r} \frac{\partial}{\partial r} - \frac{\omega^2}{c^2} (1 - \epsilon \mu \beta^2) \right] \Phi(\omega, r) = -\frac{q}{\pi \epsilon v} \cdot \frac{\delta(r)}{r}, \quad (3)$$

решение которого имеет вид

$$\Phi(\omega, r) = \begin{cases} \frac{q}{\pi \varepsilon_1 v} \left[K_0 \left(\frac{\omega r}{v} \sqrt{1 - \varepsilon_1 \mu_1 \beta^2} \right) + \alpha I_0 \left(\frac{\omega r}{v} \sqrt{1 - \varepsilon_1 \mu_1 \beta^2} \right) \right] & \text{при } r < a \\ \frac{q}{\pi \varepsilon_2 v} \left[\eta K_0 \left(\frac{\omega r}{v} \sqrt{1 - \varepsilon_2 \mu_2 \beta^2} \right) + \gamma I_0 \left(\frac{\omega r}{v} \sqrt{1 - \varepsilon_2 \mu_2 \beta^2} \right) \right] & \text{при } a < r < b \\ \frac{q}{\pi \varepsilon_3 v} \left[\xi K_0 \left(\frac{\omega r}{v} \sqrt{1 - \varepsilon_3 \mu_3 \beta^2} \right) + \zeta I_0 \left(\frac{\omega r}{v} \sqrt{1 - \varepsilon_3 \mu_3 \beta^2} \right) \right] & \text{при } r > b \end{cases} \quad (4)$$

Здесь K_0 — функция Макдональда, а I_0 — функция Бесселя мнимого аргумента.

Коэффициент при функции K_0 определяется правой частью уравнения (3). Коэффициент ζ в решении для внешней области следует положить равным нулю, так как функция I_0 экспоненциально возрастает с увеличением r .

Коэффициенты α , η , γ и ξ находятся из условий непрерывности полей на границах ($r=a$ и $r=b$)

$$\left\{ \begin{array}{l} (1 - \varepsilon_1 \mu_1 \beta^2) \Phi(\omega, a) = (1 - \varepsilon_2 \mu_2 \beta^2) \Phi(\omega, a) \\ \varepsilon_1 \frac{\partial \Phi(\omega, r)}{\partial r} \Big|_{r=a} = \varepsilon_2 \frac{\partial \Phi(\omega, r)}{\partial r} \Big|_{r=a} \\ (1 - \varepsilon_2 \mu_2 \beta^2) \Phi(\omega, b) = (1 - \varepsilon_3 \mu_3 \beta^2) \Phi(\omega, b) \\ \varepsilon_2 \frac{\partial \Phi(\omega, r)}{\partial r} \Big|_{r=b} = \varepsilon_3 \frac{\partial \Phi(\omega, r)}{\partial r} \Big|_{r=b} \end{array} \right. \quad (5)$$

Подставляя (4) в (5), получаем систему для определения α , η , γ , ξ . В дальнейшем нас будет интересовать коэффициент α , определяющий потери энергии частицы на излучение [7]. Из системы (5) находим α

$$\alpha = \frac{K_1(k_1 a)(PS - RQ) + k_2 T [K_1(k_2 a)Q + I_1(k_2 a)P]}{I_1(k_1 a)(PS - RQ)}, \quad (6)$$

где

$$P(b) = k_3 K_0(k_2 b) K_1(k_3 b) - k_2 B K_0(k_3 b) K_1(k_2 b),$$

$$Q(b) = k_3 I_0(k_2 b) K_1(k_3 b) + k_2 B K_0(k_3 b) I_1(k_2 b),$$

$$R(a) = k_2 I_0(k_1 a) K_1(k_2 a) + k_1 C I_1(k_1 a) K_0(k_2 a),$$

$$S(a) = k_1 C I_0(k_2 a) I_1(k_1 a) - k_2 I_0(k_1 a) I_1(k_2 a),$$

$$T(a) = K_0(k_1 a) I_1(k_1 a) + I_0(k_1 a) K_1(k_1 a),$$

$$B = \frac{\varepsilon_2}{\varepsilon_3} \frac{1 - \varepsilon_3 \mu_3 \beta^2}{1 - \varepsilon_2 \mu_2 \beta^2} = \frac{\varepsilon_2 k_3^2}{\varepsilon_3 k_2^2},$$

$$C = \frac{\varepsilon_1}{\varepsilon_2} \frac{1 - \varepsilon_2 \mu_2 \beta^2}{1 - \varepsilon_1 \mu_1 \beta^2} = \frac{\varepsilon_1 k_2^2}{\varepsilon_1 k_1^2},$$

$$k_1 = \frac{\omega}{v} \sqrt{1 - \varepsilon_1 \mu_1 \beta^2}; \quad k_2 = \frac{\omega}{v} \sqrt{1 - \varepsilon_2 \mu_2 \beta^2}; \quad k_3 = \frac{\omega}{v} \sqrt{1 - \varepsilon_3 \mu_3 \beta^2}.$$

Потери энергии

Потери энергии заряда на единицу длины пути равны тормозящей силе, действующей на заряд со стороны порожденного им поля [4]

$$\frac{dW}{dz} = qE_z \Big|_{z \rightarrow vt}^{z \rightarrow 0} = \frac{2q^2}{\pi c^2} \operatorname{Re} \int_0^\infty \mu_1(\omega) \left(1 - \frac{1}{\epsilon_1 \mu_1 \beta^2} \right) [K_0(k_1 r_{\min}) + \alpha I_0(k_1 r_{\min})] i\omega d\omega, \quad (7)$$

где r_{\min} — минимальное расстояние до источника, при котором еще справедлива классическая электродинамика. Действительно, при $r_{\min} \rightarrow 0$ $K_0(k_1 r_{\min}) \rightarrow \infty$, интеграл расходится, и, следовательно, формула (7) теряет смысл.

Случай вакуум—среда—вакуум

Рассмотрим случай, когда условия излучения не выполняются в канале и во внешней среде, но выполнены внутри волновода, т. е.

$$\begin{aligned} k_1^2 &> 0, & \epsilon_1 \mu_1 \beta^2 &< 1, \\ k_2^2 &< 0, & \epsilon_2 \mu_2 \beta^2 &> 1, \\ k_3^2 &> 0, & \epsilon_3 \mu_3 \beta^2 &< 1. \end{aligned}$$

Тогда в [7] первое слагаемое можно опустить, так как при действительном аргументе $k_1 r_{\min}$ функция $K_0(k_1 r_{\min})$ вещественна и величина $iK_0(k_1 r_{\min})$ не дает вклада в действительную часть интеграла. Тем самым снимается расходимость интеграла, поэтому во втором слагаемом можно положить $r_{\min} = 0$. При этом излучаемая мощность остается конечной.

Таким образом, для потерь энергии частицы в нашем случае получим

$$\frac{dW}{dz} = \frac{2q^2}{\pi c^2} \operatorname{Re} \int_{k_2^2 < 0} \mu_1 \left(1 - \frac{1}{\epsilon_1 \mu_1 \beta^2} \right) \alpha(\omega) i\omega d\omega, \quad (8)$$

где интеграл берется по частотам, для которых выполнены условия излучения. Преобразуем α для этого случая. Заменяя функции Бесселя мнимого аргумента функциями действительного аргумента и вводя параметр

$$s_2 = ik_2 = \frac{\omega}{v} \sqrt{\epsilon_2 \mu_2 \beta^2 - 1},$$

находим

$$\alpha(\Omega) = \frac{K_1(k_1 a) (\Omega \Phi - VZ) + s_2 T (VN_1(s_2 a) - \Omega I_1(s_2 a))}{I_1(k_1 a) (\Omega \Phi - VZ)}. \quad (9)$$

Здесь введены новые обозначения:

$$\begin{aligned} V(b) &= k_2 J_0(s_2 b) K_1(k_3 b) - s_2 B J_1(s_2 b) K_0(k_3 b), \\ \Omega(b) &= k_2 N_0(s_2 b) K_1(k_3 b) - s_2 B N_1(s_2 b) K_0(k_3 b), \\ \Phi(a) &= s_2 J_0(k_1 a) J_1(s_2 a) + k_1 C J_0(s_2 a) I_1(k_1 a), \\ Z(a) &= s_2 I_0(k_1 a) N_1(s_2 a) + k_1 C I_1(k_1 a) N_0(s_2 a). \end{aligned}$$

Дисперсионное уравнение. Величина $\alpha(\omega)$ в выражении (9) действительна, так как функции K и I от вещественного аргумента вещественны. Следовательно, потери энергии частицы (8) будут определяться только вычетами в полюсах подынтегрального выражения. Полюсы подынтегрального выражения определяются уравнением

$$F(\omega) = I_1(k_1 a) (\Omega \Phi - VZ) = 0 \quad (10)$$

или в развернутом виде

$$I_1(k_1 a) \{ [k_3 N_0(s_2 b) K_1(k_3 b) - s_2 B N_1(s_2 b) K_0(k_3 b)] [s_2 I_0(k_1 a) J_1(s_2 a) + k_1 C J_0(s_2 a) I_1(k_1 a)] - [k_3 J_0(s_2 b) K_1(k_3 b) - s_2 B J_1(s_2 b) K_0(k_3 b)] \times \\ \times [s_2 I_0(k_1 a) N_1(s_2 a) + k_1 C I_1(k_1 a) N_0(s_2 a)] \} = 0. \quad (10')$$

Качественное исследование полученного дисперсионного уравнения позволяет сделать следующие выводы: собственные частоты системы зависят как от поперечных размеров стержня a и b , так и от электрических и магнитных свойств среды. Устремив к нулю радиус канала ($a \rightarrow 0$), получаем дисперсионное уравнение в виде

$$k_3 J_0(s_2 b) K_1(k_3 b) + s_2 B J_1(s_2 b) K_0(k_3 b) = 0,$$

полученном непосредственно для стержня без канала в [4].

В случае достаточно большого внешнего радиуса b , такого, что $k_3 b \gg 1$ и $s_2 b \gg 1$, можно воспользоваться асимптотикой функций Бесселя. Тогда уравнение (10') переходит в уравнение типа

$$F(\omega) = \frac{e^{-k_3 b}}{\varepsilon_1 b s_2} \sqrt{\frac{k_3}{s_2}} I_1(k_1 a) \left\{ \Phi(a) \left[s_3 \varepsilon_1 \sin\left(s_2 b - \frac{\pi}{4}\right) - \varepsilon_2 k_3 \cos\left(s_2 b - \frac{\pi}{4}\right) \right] - Z(a) \left[s_2 \varepsilon_1 \cos\left(s_2 b - \frac{\pi}{4}\right) + \varepsilon_2 k_3 \sin\left(s_2 b - \frac{\pi}{4}\right) \right] \right\} = 0. \quad (11)$$

Если среда ε_2, μ_2 безгранична, т. е. $b \rightarrow \infty$, то экспоненциальный множитель $e^{-k_3 b}$ перед скобкой оказывается преобладающим, и (11) можно записать в виде $I_1(k_1 a) = \frac{0}{0}$, т. е. дисперсионное уравнение пе-

реходит в тождество, справедливое при всех значениях ω . Получаем сплошной спектр излучения, как и должно быть в безграничной среде. Таким образом, уже качественный анализ позволяет сделать некоторые выводы о зависимости спектра излучения от размеров стержня.

Потери энергии зарядом. Для упрощения расчетов предположим, что среды не имеют дисперсии, т. е. $\varepsilon = \varepsilon(\omega) = \text{const}$ и $\mu = \mu(\omega) = \text{const}$. Кроме того, считаем, что в среде нет никаких неоднородностей, т. е. будем рассматривать случаи невырожденных частот. Тогда дисперсионное уравнение не имеет кратных корней.

Подставляя выражение (9) для α в формулу (8) и беря полувычеты в полюсах подынтегрального выражения, находим потери энергии заряда на единицу длины пути:

$$\frac{dW}{dz} = - \frac{2q^2 (\varepsilon_1 \mu_1 \beta^2 - 1)}{c^2 \varepsilon_1 \beta^2} \sum_s \frac{\omega_s^2 s_2 T [V N_1(s_2 a) - \Omega(b) J_1(s_2 a)]}{I_1(k_1 a) [D ds_2^2 - s_2 (Ll - Mm) - Nn]} \Big|_{\omega = \omega_s} \quad (12)$$

со следующими обозначениями:

$$D = J_1(s_2 a) N_1(s_2 b) - N_1(s_2 a) J_1(s_2 b),$$

$$L = J_1(s_2 a) N_0(s_2 b) - N_1(s_2 a) J_0(s_2 b),$$

$$M = J_0(s_2 a) N_1(s_2 b) - N_0(s_2 a) J_1(s_2 b),$$

$$N = J_0(s_2 a) N_0(s_2 b) - N_0(s_2 a) J_0(s_2 b),$$

$$d = k_3 b (B - 1) I_0(k_1 a) K_1(k_3 b) - k_1 a B (1 - C) I_1(k_1 a) K_0(k_3 b),$$

$$l = b (k_3^2 + s_2^2 B) I_0(k_1 a) K_0(k_3 b) - k_1 k_3 a (1 - C) I_1(k_1 a) K_1(k_3 b),$$

$$m = k_1 k_3 b C (B - 1) I_1(k_1 a) K_1(k_3 b) - a B (s_2^2 + k_1^2 C) I_0(k_1 a) K_0(k_3 b),$$

$$n = b k_1 C (k_3^2 + s_2^2 B) I_1(k_1 a) K_0(k_3 b) - k_3 a (s_2^2 + k_1^2 C) I_0(k_1 a) K_1(k_3 b).$$

Суммирование производится по всем частотам ω , для которых выполнены условия излучения.

Спектры некоторых излучателей с заданными параметрами

Приведенные выше расчеты были проведены в связи с экспериментальными исследованиями черенковских излучателей в диапазоне СВЧ [6]. Поэтому количественные результаты, о которых пойдет речь ниже, были получены для цилиндрического излучателя из керамики титаната кальция, имеющего следующие параметры:

$$a = 0,15 \text{ см}; \quad b = 0,70 \text{ см};$$

$$\epsilon_2 = 150; \quad \epsilon_1 = \epsilon_3 = \mu_1 = \mu_2 = \mu_3 = 1.$$

Кроме того, исследовалось поведение спектра излучения и мощности в спектре при изменении геометрических размеров стержня и его диэлектрической проницаемости.

Скорость электронов в канале для всех расчетов принималась равной $v = 32,8 \cdot 10^8 \text{ см/сек}$, что соответствует ускоряющему напряжению 3 кв. При этом напряжении обычно наблюдался максимум излучения [6].

Общий вид функции $F(\omega)$ (левой части дисперсионного уравнения) представлен на рис. 2. $F(\omega)$ очень быстро убывает с ростом частоты, поэтому для сокращения масштаба функция $F(\omega)$ приведена с дополнительным экспоненциальным множителем $e^{10,6\omega}$, который не влияет на положение нулей функции. Из рис. 2 видно, что нули функции, т. е. корни дисперсионного уравнения, располагаются эквидистантно.

Численное решение дисперсионного уравнения проводилось на электронной вычислительной машине «Стрела-4». Ниже приведены две таблицы корней.

Табл. 1 дает корни уравнения для двух различных значений диэлектрической проницаемости при прочих равных параметрах. Из взаимного расположения корней видно, что система с меньшим значением ϵ обладает более ярко выраженными резонансными свойствами. Действительно, корни уравнения (10) для $\epsilon = 100$ лежат примерно в два раза дальше друг от друга, чем корни системы в случае $\epsilon = 150$.

В табл. 2 помещены корни уравнения (10), вычисленные для $\epsilon = 150$, но для различных значений радиусов стержня. Спектр излучения в этом случае сильно зависит от толщины диэлектрика $b - a$. В самом деле,

если при $b-a=0,55$ см корни расположены достаточно близко друг к другу, то при $b-a=0,20$ см они разнесены уже очень далеко.

В табл. 2 приведены собственные частоты излучателя, имеющего вдвое меньший радиус канала ($a=0,075$ см). Здесь частоты также очень близки друг к другу. По существу этот случай мало отличается от первого ($a=0,15$ см, $b=0,70$ см), так как изменение толщины диэлектрика в этих двух примерах очень незначительно ($b-a=0,55$ см и $b-a=0,625$ см).

При вычислении корней, собранных в таблицах 1 и 2, использовались стандартные программы для функций Бесселя $J(x)$, $N(x)$, $I(x)$, $K(x)$, разработанные в МГУ для «Стрелы-4» [7]. Все полученные значе-

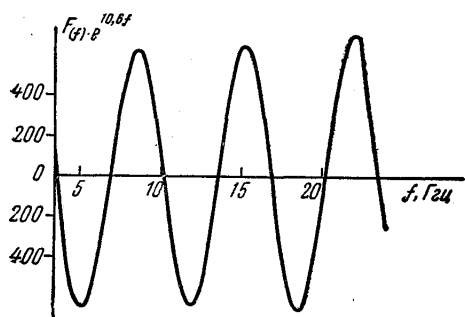


Рис. 2

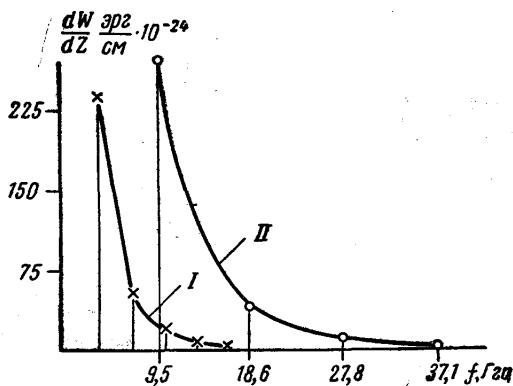


Рис. 3

ния корней не выходят за пределы диапазона длин волн ($20 \div 0,6$) см. Более высокие гармоники не рассматривались из-за ограниченных возможностей программ для вычисления функций Бесселя. А именно, при больших аргументах ($k_3 b \gg 43,7$) значения функций $K_0(k_3 b)$, $K_1(k_3 b)$ становятся меньше $0,999\ 999\ 999 \cdot 10^{-20}$ — числа, являющегося машинным нулем «Стрелы». По этой же причине для $\varepsilon=100$ (табл. 1) получено всего четыре значения корней, так как при дальнейшем увеличении частоты аргумент $k_3 b$ превосходит 43,7.

Расчет излучаемой частицей мощности для каждой из собственных частот $f_s = \frac{\omega_s}{2\pi}$ проводился по формуле (12). Соответствующие графики мощности изображены на рис. 3, 4, 5.

Таблица 1

№ корня	f гц $\cdot 10^{-10}$	
	$\varepsilon = 150$	$\varepsilon = 100$
1	0,360693	0,733479
2	0,688428	1,39989
3	1,02075	2,07542
4	1,35449	2,75485
5	1,69009	—
6	2,02573	—
7	2,36177	—
8	2,69800	—
9	3,03432	—

Размеры стержня $a=0,15$ см, $b=0,70$ см.

На рис. 3 приведены огибающие спектра потерь энергии на единицу длины пути при $\epsilon=100$ и $\epsilon=150$. Кривая II ($\epsilon=100$) лежит выше кривой I ($\epsilon=150$) ($a=0,15$ см, $b=0,70$ см). Этого и следовало ожидать, имея в виду, что, при $\epsilon=100$, система имеет более выраженные резонансные свойства. Частоты расположены реже, и полные потери энергии частицы на том же диапазоне, что и при $\epsilon=150$, распределяются теперь между меньшим числом частот.

Аналогичный вид имеют и графики на рис. 5, построенные для одного и того же значения $\epsilon=150$, но при разных значениях внешнего

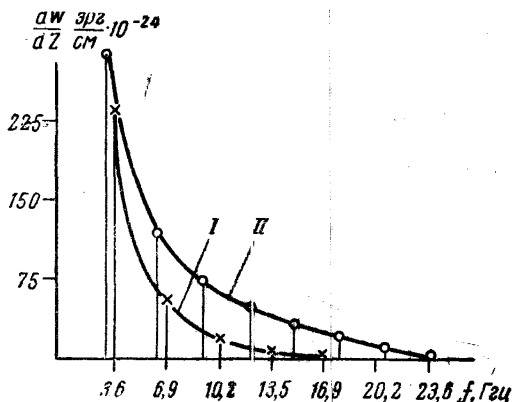


Рис. 4. I — $a=0,150$ см, II — $a=0,075$ см;
 $\epsilon=150$, $b=0,70$ см

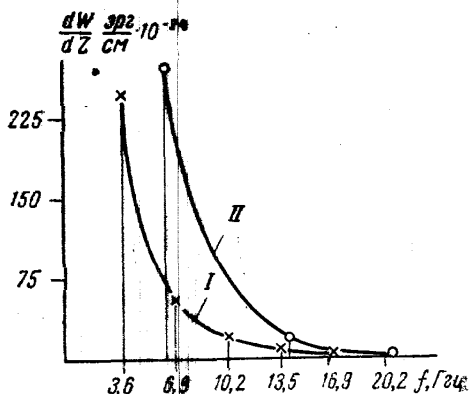


Рис. 5. I — $b=0,70$ см, II — $b=0,35$ см;
 $\epsilon=150$, $a=0,15$ см

радиуса b . Кривая II лежит выше кривой I также в силу большей резонансности системы.

Оба графика дают спектральное распределение мощности для излучателей, имеющих одинаковый радиус канала $a=0,15$ см, т. е. условия взаимодействия заряда с полем поверхностной волны внутри канала в этих двух примерах одинаковы. На рис. 4 изображено спектральное распределение мощности для излучателя, имеющего вдвое меньший радиус канала $a=0,075$ см (кривая II). В этом случае электрон сильнее взаимодействует с полем поверхностной волны, поэтому, несмотря на меньшую резонансность системы (толщина диэлектрика, $b=0,625$ см

Таблица 2

№ корня	f гц $\cdot 10^{-10}$		
	$b = 0,70$ см $a = 0,15$ см	$b = 0,35$ см $a = 0,15$ см	$b = 0,70$ см $a = 0,075$ см
1	0,360693	0,946909	0,332330
2	0,688428	1,86215	0,620231
3	1,02075	2,78422	0,910471
4	1,35449	3,70833	1,20268
5	1,69009	4,63324	1,49612
6	2,02573	5,55868	1,79036
7	2,36177	—	2,08511
8	2,69800	—	2,38023
9	3,03432	—	2,67560
10	—	—	2,97116

$\epsilon = 150$

больше, чем в случае рис. 5, где $b-a=0,55$ см для кривой I и $b-a=0,20$ см для кривой II), кривая II на рис. 4 оказывается лежащей выше кривой I.

Спектральное распределение мощности излучения убывает с ростом частоты по экспоненциальному закону. Особенно хорошо это видно из рис. 6, где построены логарифмы огибающих мощности и приведена расчетная экспонента типа $ae^{-\beta f}$, где f — собственная частота системы. Константы α и β подбирались эмпирически по первым двум корням системы для кривой рис. 3. Остальные точки рассчитывались для каждого значения f по полученным константам α и β .

Приведенные выше расчеты позволяют по заданным ϵ и геометрическим размерам излучателей определить, какие из систем наиболее близки к резонансным и какие дают почти непрерывный спектр излучения. В частности, система с параметрами $\epsilon=0,15$ см, $b=0,70$ см, $\epsilon=150$ имеет настолько близкие собственные частоты, что спектр ее можно практически считать сплошным. Излучатели со сплошным спектром могут быть использованы для измерения больших значений ϵ в миллиметровом диапазоне [6].

В заключение выражаю глубокую признательность своему научному руководителю И. И. Минаковой за постоянное внимание при выполнении данной работы.

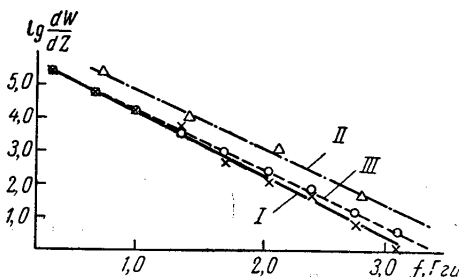


Рис. 6. I — $\epsilon=150$, II — $\epsilon=100$, III — $\lg(ae^{-\beta f})$; $a=0,15$ см, $b=0,70$ см

ЛИТЕРАТУРА

1. Гинзбург В. Л. ДАН СССР, 56, вып. 2, 1947.
2. Абель М. Сб. «Миллиметровые и субмиллиметровые волны», М., ИЛ, 1959.
3. Ломизе Л. Г. «Радиотехника и электроника», 5, вып. 5, 1960.
4. Болотовский Б. М. «Успехи физических наук», 62, вып. 3, 1957; 75, вып. 2, 1961.
5. Бонч-Осмоловский А. Г. ЖТФ, 33, вып. 3, 1963.
6. Тарасов Б. Г. Сб. аспирантских работ, Казанский ун-т, 1962.
7. Волконская Т. Г., Жемчужникова Д. М., Жоголев Е. А., Котик И. П. Сб. «Вычислительные методы и программирование». Изд-во МГУ, 1962.

Поступила в редакцию
28. 3 1964 г.

Кафедра
физики колебаний